



УДК 542

Об устойчивости бесконечного цилиндра с анизотропным распределением скоростей*

В.А. Антонов, Е.М. Нежинский

Главная астрономическая обсерватория РАН, Пулково

Изучается устойчивость бесконечного цилиндра, однородного вдоль z -оси, по отношению к продольным возмущениям. Посредством соответствующего выбора модели задача сводится к одномерной. Показано, что цилиндр неустойчив при любой дисперсии скоростей (σ^2). Для некоторых распределений плотности найдены асимптотические оценки критической длины волны. Показано, что рост критической длины волны вряд ли может играть какую-либо роль в физических приложениях.

ПРО СТІЙКІСТЬ НЕСКІНЧЕННОГО ЦИЛІНДРА З АНІЗОТРОПНИМ РОЗПОДІЛОМ ШВИДКОСТЕЙ, Антонов В.А., Нежинський Є.М. — Вивчається стійкість нескінченного циліндра, однорідного вздовж вісі z , відносно подовжніх збурень. За допомогою відповідного вибору моделі задача зводиться до одновимірної. Показано, що циліндр нестійкий при будь-якій дисперсії швидкостей (σ^2). Для деяких розподілів густини знайдено асимптотичні оцінки критичної довжини хвилі. Показано, що зростання критичної довжини хвилі навряд чи може грати яку-небудь роль у фізичних випадках.

ON THE STABILITY OF AN INFINITE CYLINDER HAVING ANISOTROPIC VELOCITY DISTRIBUTION, by Antonov V.A., Nezhinskiy E.M. — The stability is studied with respect to longitudinal perturbations of an infinite cylinder homogeneous along z axis. The problem is reduced to the one-dimensional one by the proper choice of the model. It is shown that the cylinder is unstable for any dispersion of the velocities (σ^2). The asymptotic estimate of critical wavelength is found for several density distributions. It shows that the critical wavelength increases so that can hardly play any role in physical applications.

В связи с обнаружением у некоторых аномальных и кратных галактик вытянутых структур [1] типа мостов, хвостов и перемычек естественно встает вопрос об устойчивости таких образований.

В устойчивости вытянутых газовых образований определяющую роль, по-видимому, играет магнитное поле. Однако в данном случае вид многих мостов и хвостов указывает на их физическое сходство, а иногда и непосредственную связь с типичными спиральными ветвями, в которых относительно малая часть вещества представлена газом, а основным является звездная компонента. Движение звезд не зависит от магнитного поля, поэтому для космогонии галактик и групп галактик большой интерес представляет оценка времени, в течение которого вытянутое образование (в пределе – бесконечный цилиндр) может удержаться в стационарном состоянии за счет тяготения составляющих его звезд.

Хотя рассматриваемая задача (исследование устойчивости бесконечного, однородного в продольном направлении, самогравитирующего цилиндра звезд) несколько напоминает классическую задачу Джинса [2,3], отличие состоит в том, что среда бесконечна не во всех направлениях: цилиндр ограничен по радиусу.

В нижеследующих расчетах мы примем некоторые допущения:

- 1) гравитационное поле, как обычно, сглаживается (иррегулярными силами пренебрегаем);
- 2) возмущения гравитационного поля действуют на совокупность звезд с одинаковыми z и w (координатами вдоль оси цилиндра и соответствующими скоростями) одновременно, как на жесткий диск,двигающийся со скоростью w вдоль оси z . Относительные движения звезд в направлениях,

* Впервые опубликована в Трудах Астрон. обсерв. Ленингр. ун-та – 1973. – 29. – С. 122–140.

перпендикулярных z , учитываются лишь косвенно тем, что диску приписывается распределение поверхностной плотности, совпадающее с распределением объемной плотности исходной стационарной модели цилиндра. Структура диска формально полагается неизменной в ходе возмущения, и он может лишь смещаться как целое, оставаясь ориентированным параллельно прежнему положению. Будем также считать, что диски свободно проходят один сквозь другой, и задана функция распределения их скоростей $\psi_0(w)$, не зависящая от z .

1. Продольные возмущения

1.1. Вывод дисперсионного уравнения

Известно, что в двумерном фазовом пространстве (z, w) выполняется уравнение Больцмана-Власова

$$\frac{\partial \Psi}{\partial t} + w \frac{\partial \Psi}{\partial z} - \frac{\partial \Phi}{\partial z} \frac{\partial \Psi}{\partial w} = 0, \quad (1)$$

где t – время; z – линейная координата диска; w – соответствующая компонента скорости диска; $\Psi(z, w, t)$ – фазовая плотность,

$$\int_{-\infty}^{\infty} \Psi(w) dw = 1, \quad (2)$$

$\Phi(z, t)$ – потенциальная энергия (на единицу массы).

Представим фазовую плотность и потенциальную энергию в виде

$$\Psi = \Psi_0 + \varepsilon f, \quad \Phi = \Phi_0 + \varepsilon s,$$

где Ψ_0 и Φ_0 – фазовая плотность и потенциальная энергия для невозмущенного однородного цилиндра; f и s – соответствующие возмущения; ε – малый параметр.

Линеаризуя уравнение (1), получим

$$\frac{\partial f}{\partial t} + w \frac{\partial f}{\partial z} + \varphi \frac{\partial \Psi_0}{\partial w} = 0, \quad (3)$$

где

$$\varphi = \frac{1}{M} \int_{-\infty}^{\infty} \int_{-\infty}^{\infty} F(z_1 - z) f(z_1, w_1, t) dw_1 dz_1,$$

$F(z_1 - z)$ – сила, с которой одна пластинка (с координатой z_1) притягивает другую пластинку (с координатой z); M – масса пластинки.

Малые возмущения фазовой плотности в силу однородности системы достаточно искать в виде

$$f(z, w, t) = b(w) e^{i\lambda t + ikz}, \quad (4)$$

где k – всегда вещественно.

Обозначим

$$z_1 - z = \xi \quad (5)$$

Подставим (4) в (3) и учтем (5):

$$ib(w)(\lambda + kw) + \frac{1}{M} \frac{\partial \Psi_0}{\partial w} \int_{-\infty}^{\infty} F(\xi) e^{ik\xi} d\xi \int_{-\infty}^{\infty} b(w_1) dw_1 = 0.$$

Функция $F(\xi)$ по своему смыслу нечетная, поэтому

$$b(w) = - \frac{2}{M(\lambda + kw)} \frac{\partial \Phi_0}{\partial w} \int_0^{\infty} F(\xi) \sin(k\xi) d\xi \int_{-\infty}^{\infty} b(w_1) dw_1. \quad (6)$$

Интегрируя обе части (6) по w , получим дисперсионное уравнение

$$\frac{1}{2} = -\frac{2}{M} \int_{-\infty}^{\infty} \frac{1}{\lambda + kw} \frac{\partial \Psi_0}{\partial w} dw \int_0^{\infty} F(\xi) \sin(k\xi) d\xi.$$

Очевидно, что устойчивые решения будут отделены от неустойчивых решением, которое не зависит от времени, т.е. таким (аналогично [3]), при котором $\lambda = 0$:

$$\frac{1}{2} = -\frac{1}{M} \int_{-\infty}^{\infty} \frac{1}{kw} \frac{\partial \Psi_0}{\partial w} dw \int_0^{\infty} F(\xi) \sin(k\xi) d\xi. \quad (7)$$

Пусть для определенности в каждой точке имеет место распределение скоростей по закону Максвелла

$$\Psi_0 = \frac{1}{\sqrt{2\pi}\sigma} \exp\left(-\frac{w^2}{2\sigma^2}\right),$$

где σ^2 – дисперсия скоростей.

Тогда дисперсионное уравнение (7) можно записать как

$$\frac{\sigma^2}{2} = \frac{1}{kM} \int_0^{\infty} F(\xi) \sin(k\xi) d\xi. \quad (8)$$

Из (8) находится критическая дисперсия скоростей дисков для каждого волнового числа k , т.е. дисперсия, при которой цилиндр еще устойчив, иначе говоря, – граница областей устойчивости и неустойчивости. Аналогичные расчеты можно провести и для других законов распределения величин w .

1.2. Изучение устойчивости бесконечного цилиндра

Пусть плотность в самом цилиндре, а значит (в силу (2)), и образующих цилиндр пластинок радиуса R меняется по закону $\rho(\sqrt{x^2 + y^2})$; $\rho(\sqrt{x^2 + y^2})$ – ограниченная, непрерывная, положительная функция ($\rho(\sqrt{x^2 + y^2}) \leq \nu_0$, $\nu_0 = \text{const}$). Тогда сила, с которой одна пластинка притягивает другую, удаленную от нее на расстояние ξ , имеет вид (G – гравитационная постоянная)

$$F(\xi) = G \int_{-R}^R \int_{-\sqrt{R^2-x^2}}^{\sqrt{R^2-x^2}} \int_{-R}^R \int_{-\sqrt{R^2-x_1^2}}^{\sqrt{R^2-x_1^2}} \frac{\xi \rho(\sqrt{x^2 + y^2}) \rho(\sqrt{x_1^2 + y_1^2}) dx dy dx_1 dy_1}{[(x-x_1)^2 + (y-y_1)^2 + \xi^2]^{3/2}}. \quad (9)$$

Подставим полученное выражение для силы (9) в дисперсионное уравнение (8), тогда *

$$\frac{\sigma^2}{2} = \frac{G}{kM} \int_0^{\infty} \iiint \frac{\xi \rho(\sqrt{x^2 + y^2}) \rho(\sqrt{x_1^2 + y_1^2})}{[(x-x_1)^2 + (y-y_1)^2 + \xi^2]^{3/2}} \sin k\xi dx dy dx_1 dy_1 d\xi. \quad (10)$$

Изменим в правой части (10) порядок интегрирования. Интегрируем по ξ [4]:

$$\frac{\sigma^2}{2} = \frac{G}{M} \iiint \int K_0(\sqrt{(x-x_1)^2 + (y-y_1)^2} k) \rho(\sqrt{x^2 + y^2}) \rho(\sqrt{x_1^2 + y_1^2}) dx dy dx_1 dy_1. \quad (11)$$

Исследуем поведение правой части (11). Так как [5] $K_0(k) > 0$ и функция K_0 монотонно убывает с ростом аргумента k , а плотность $\rho \geq 0$, то правая часть (11) всегда положительна и монотонно убывает с ростом K . При $k \rightarrow \infty$ правая часть стремится к $+\infty$ ($K_0(\alpha k) \rightarrow +\infty$ при $\alpha > 0$).

На рисунке схематично показано поведение критической кривой, т.е. границы областей устойчивости и неустойчивости для любого закона распределения плотности в пластинке.

Теперь для наглядности рассмотрим три конкретных закона распределения плотности в диске и непосредственно получим вид критических кривых (см. (13), (15), (17)). При этом будем считать, что скорости пластинок распределены по закону Максвелла.

*В дальнейшем интегралы без обозначения пределов распространены по сечениям цилиндра, как (9). Ниже J и K – модифицированные функции Бесселя [5].

Пример 1. Поверхностная плотность пластинок радиуса R не меняется;

$$\rho(\sqrt{x^2+y^2}) = \nu, \quad \nu = \text{const}$$

Тогда сила, с которой притягиваются две одинаковые, однородные, параллельные, имеющие общую ось симметрии и удаленные друг от друга на расстояние ξ пластинки, имеет вид

$$F(\xi) = 2\pi^2 GR^2 \nu^2 \text{sign } \xi - 8\pi G \nu^2 R^2 \int_0^{\pi/2} \frac{\xi \sin^2 \varphi d\varphi}{\sqrt{\xi^2 + 4R^2 \cos^2 \varphi}}. \quad (12)$$

Подставив (12) в (8), после интегрирования получим уравнение для критической кривой

$$\sigma^2 = \frac{4\pi^2 G \nu^2 R^2}{k^2 M} [1 - 2J_1(kR)K_1(kR)]. \quad (13)$$

Пример 2. Поверхностная плотность пластинки меняется по закону

$$\rho(x, y) = \nu \exp\left(-\frac{x^2+y^2}{a^2}\right) \quad (\nu = \text{const}, a = \text{const}, a > 0), R = \infty$$

Тогда потенциальная энергия одного диска в поле тяготения другого на расстоянии ξ

$$U(\xi) = \int_{-\infty}^{\infty} \int_{-\infty}^{\infty} \int_{-\infty}^{\infty} \int_{-\infty}^{\infty} \frac{G \nu^2 \exp\left(-\frac{x^2+y^2+x_1^2+y_1^2}{a^2}\right)}{\sqrt{(x-x_1)^2 + (y-y_1)^2 + \xi^2}} dx dy dx_1 dy_1$$

или, если ввести еще одну переменную интегрирования (τ) (см. [6]):

$$\begin{aligned} U(\xi) &= \frac{G \nu^2}{a \sqrt{\pi}} \int_{-\infty}^{\infty} \int_{-\infty}^{\infty} \int_{-\infty}^{\infty} \int_{-\infty}^{\infty} \int_{-\infty}^{\infty} \exp\left(\frac{x^2+y^2+x_1^2+y_1^2+\tau^2[(x-x_1)^2 + (y-y_1)^2 + \xi^2]}{a^2}\right) d\tau dx dy dx_1 dy_1 \\ &= G \nu^2 (\pi a^2)^{3/2} \int_{-\infty}^{\infty} \frac{\exp\left(-\frac{\tau^2 \xi^2}{a^2}\right)}{1+2\tau^2} d\tau, \end{aligned}$$

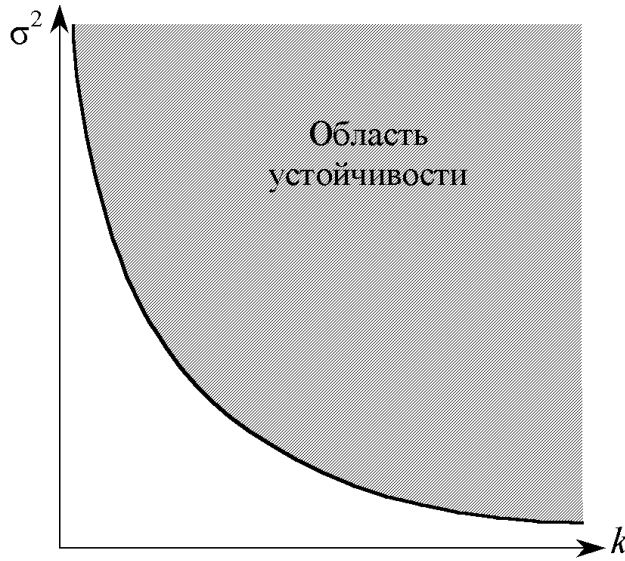


Рис. 1. Слой межзвездной среды во внешнем гравитационном поле с учетом действия магнитного поля

и тогда сила, с которой одна пластинка действует на другую:

$$F(\xi) = -\frac{dU(\xi)}{d\xi} = 2G\nu^2\pi^{3/2}a\xi \int_0^\infty \frac{\tau^2}{\tau^2 + \frac{1}{2}} \exp\left(-\frac{\tau^2\xi^2}{a^2}\right) d\tau. \quad (14)$$

Подставив (14) в (8), получим выражение для критической кривой

$$\sigma^2 = \frac{\pi^2 G\nu^2 a^2}{k^2 M} \int_0^1 \frac{d\tau}{\frac{a^2 k^2}{2} - \ln \tau}. \quad (15)$$

Пример 3. Возьмем закон поверхностной плотности диска

$$\rho(x, y) = \frac{\nu}{(a^2 + r^2)^{3/2}} \quad (\nu = \text{const}, a = \text{const}, a > 0), R = \infty.$$

Ему соответствует потенциал в точке с координатами (r, ξ)

$$V = \frac{2\pi G\nu}{a} [r^2 + (|\xi| + a)^2]^{-1/2}.$$

Легко убедиться, что эта функция – гармоническая. При $\xi = 0$ она испытывает скачок нужной величины

$$\left(\frac{\partial V}{\partial \xi}\right)_{\xi=+0} - \left(\frac{\partial V}{\partial \xi}\right)_{\xi=-0} = -4\pi G\rho.$$

Для определенности возьмем $\xi > 0$ и проинтегрируем по массе второго диска (см. [6]):

$$U = \int V dm = \frac{4\pi^2 G\nu^2}{a} \int_0^\infty (a^2 + r^2)^{-3/2} [r^2 + (\xi + a)^2]^{-1/2} r dr = \frac{4\pi^2 G\nu^2}{a^2(\xi + 2a)}.$$

Соответственно сила тяготения

$$F(\xi) = -\frac{\partial U}{\partial \xi} = \frac{4\pi^2 G\nu^2}{a^2(\xi + 2a)}. \quad (16)$$

Подставляем (16) в (8) и получаем выражение для критической кривой

$$\frac{\sigma^2}{2} = \frac{4\pi^2 G\nu^2}{a^2 M} \int_{2ak}^\infty \frac{\cos(\tau - 2ak)}{\tau} d\tau. \quad (17)$$

1.3. Асимптотика возмущений при больших длинах волн

Как мы видели выше, при любом значении дисперсии продольных скоростей σ^2 цилиндр неустойчив по отношению к возмущениям с достаточно большой длиной волны. В этом смысле ситуация аналогична известной неустойчивости Джинса в трехмерной среде. Однако в цилиндрической системе увеличение критической длины волны с ростом σ^2 происходит очень быстро.

Действительно, при $k \rightarrow 0$, $\sigma^2 \rightarrow \infty$ (11) можно записать в виде

$$\begin{aligned} \frac{\sigma^2}{2} = & -\frac{G}{M} \iiint \left\{ \frac{1}{2} \ln[(x-x_1)^2 + (y-y_1)^2] + \ln \frac{k}{2} + C \right\} \times \\ & \times \rho(\sqrt{x^2 + y^2}) \rho(\sqrt{x_1^2 + y_1^2}) dx dy dx_1 dy_1 + O(k \ln k), \end{aligned}$$

или

$$\frac{\sigma^2}{2} = -\frac{1}{2M} \iint \rho(\sqrt{x^2 + y^2}) \Phi_0 dx dy - GM \left(\ln \frac{k}{2} + C \right), \quad (18)$$

где C – постоянная Эйлера, Φ_0 – логарифмический потенциал, соответствующий пластинке $\rho(\sqrt{x^2 + y^2})$.

Ведем эффективный радиус соотношением

$$\iint \rho \Phi_0 dx dy = 2GM^2 \ln R_e.$$

Тогда в критическом случае из (18)

$$k \sim \frac{2}{R_e} \exp \left(-\frac{\sigma^2}{2GM} - C \right),$$

а соответствующая длина волны

$$l \sim \pi R_e \exp \left(\frac{\sigma^2}{2GM} + C \right). \quad (19)$$

Удобно ввести в эту формулу среднюю дисперсию поперечных скоростей. Для этого напомним уравнение Больцмана в стационарном случае для отдельных звезд

$$u \frac{\partial \Psi}{\partial x} + v \frac{\partial \Psi}{\partial y} - \frac{\partial \Phi_0}{\partial x} \frac{\partial \Psi}{\partial u} - \frac{\partial \Phi_0}{\partial y} \frac{\partial \Psi}{\partial v} = 0, \quad (20)$$

где u и v – компоненты скорости соответственно по осям x и y , а Ψ – фазовая плотность в пространстве (x, y, u, v) . Умножая (20) на $xu + yv$ и интегрируя по всему фазовому пространству, получаем после некоторых преобразований

$$- \iiint \int (u^2 + v^2) \psi \, dx \, dy \, du \, dv + \iiint \int \left(x \frac{\partial \Phi_0}{\partial x} + y \frac{\partial \Phi_0}{\partial y} \right) \psi \, dx \, dy \, du \, dv = 0 \quad (21)$$

Но из

$$\Phi_0 = G \iint \rho(\sqrt{x_1^2 + y_1^2}) \ln [(x - x_1)^2 + (y - y_1)^2] \, dx_1 \, dy_1$$

следует

$$x \frac{\partial \Phi_0}{\partial x} + y \frac{\partial \Phi_0}{\partial y} = 2G \iint \frac{x(x - x_1) + y(y - y_1)}{(x - x_1)^2 + (y - y_1)^2} \rho(\sqrt{x_1^2 + y_1^2}) \, dx_1 \, dy_1.$$

Среднюю дисперсию поперечных скоростей σ_1^2 определим обычным способом

$$\sigma_1^2 = \frac{\iiint \int (u^2 + v^2) \Psi \, dx \, dy \, du \, dv}{\iiint \int \Psi \, dx \, dy \, du \, dv} = \frac{1}{M} \iiint \int (u^2 + v^2) \Psi \, dx \, dy \, du \, dv,$$

или, если использовать (21):

$$\begin{aligned} \sigma_1^2 &= \frac{1}{M} \iint \left(x \frac{\partial \Phi_0}{\partial x} + y \frac{\partial \Phi_0}{\partial y} \right) \rho(\sqrt{x^2 + y^2}) \, dx \, dy = \\ &= \frac{2G}{M} \iiint \int \frac{x(x - x_1) + y(y - y_1)}{(x - x_1)^2 + (y - y_1)^2} \rho(\sqrt{x^2 + y^2}) \rho(\sqrt{x_1^2 + y_1^2}) \, dx \, dy \, dx_1 \, dy_1 \end{aligned}$$

Меняя местами x, y и x_1, y_1 и взяв полусумму полученных выражений, получаем просто

$$\sigma_1^2 = GM,$$

(19) же можно переписать так:

$$l \sim \pi R_e \exp \left(\frac{\sigma^2}{2\sigma_1^2} + C \right). \quad (22)$$

Определение R_e в рассмотренных выше примерах не представляет особых трудностей, если учесть, что Φ_0 обязан удовлетворять уравнению Пуассона:

$$\frac{1}{r} \frac{d}{dr} \left(r \frac{d\Phi_0}{dr} \right) = 4\pi G \rho(r)$$

с предельным условием

$$\lim_{r \rightarrow \infty} (\Phi_0 - 2GM \ln r) = 0.$$

Так, в примере 1

$$R_e = R e^{-1/4}$$

или в примере 2

$$R_e = \frac{a}{\sqrt{2}} e^{-C/2}$$

В примере 3 просто $R_e = a$.

2. Поперечные возмущения

2.1. Вывод и исследование дисперсионного уравнения

Рассмотрим, как влияют поперечные возмущения на тот же цилиндр. Для этого из всей совокупности дисков, образующих цилиндр, выберем два (координаты первого – (z, w) , второго – (z_1, w_1)). Отклоним один из них, не нарушая параллельности дисков, от оси симметрии в направлении x на небольшую величину h , а другой – на h_1 . Тогда сила, действующая в том же направлении, с которой второй диск воздействует на первый, может быть записана в виде

$$F_x(z_1 - z) = G \iiint \frac{(x_1 - x + h_1 - h) \rho(\sqrt{x^2 + y^2} \sqrt{x_1^2 + y_1^2}) dx dy dx_1 dy_1}{[(x_1 - x + h_1 - h)^2 + (y_1 - y)^2 + (z_1 - z)^2]^{3/2}}.$$

где $h = h(z, w)$, $h_1 = h(z_1, w_1)$, а $\rho(\sqrt{x^2 + y^2})$ – поверхностная плотность дисков. Разложим подынтегральное выражение в ряд и сохраним члены первого порядка малости

$$F_x(z_1 - z) = -G(h_1 - h) \iiint \rho(\sqrt{x^2 + y^2}) \rho(\sqrt{x_1^2 + y_1^2}) \times \\ \times \frac{\partial^2}{\partial x_1^2} [(x_1 - x)^2 + (y_1 - y)^2 + (z_1 - z)^2]^{-1/2} dx dy dx_1 dy_1.$$

Ввиду равноправия координат x и y можно также написать в этом интеграле вместо $\frac{\partial^2}{\partial x_1^2}$ по-лусумму

$$\frac{1}{2} \left(\frac{\partial^2}{\partial x_1^2} + \frac{\partial^2}{\partial y_1^2} \right) [(x_1 - x)^2 + (y_1 - y)^2 + (z_1 - z)^2]^{-1/2} = \\ = -\frac{\partial^2}{\partial z_1^2} [(x_1 - x)^2 + (y_1 - y)^2 + (z_1 - z)^2]^{-1/2},$$

тогда

$$F_x(z_1 - z) = -\frac{h_1 - h}{2} \frac{\partial}{\partial z_1} F(z_1 - z).$$

(определение $F(z_1 - z)$ см. в (9)). Напишем выражение для силы (T), с которой весь возмущенный цилиндр будет действовать на отклонившийся от оси симметрии диск с координатами (z, w) и массой M :

$$T(z, w) = -\frac{1}{2} \int_{-\infty}^{\infty} \int_0^{\infty} [h(z + \xi, w_1) + h(z - \xi, w_1) - 2h(z, w_1)] \Psi_0(w_1) \frac{d}{d\xi} F(\xi) dw_1 d\xi, \quad (23)$$

где $\xi = z_1 - z$.

С другой стороны,

$$T(z, w) = \frac{D^2 h(z, w)}{Dt^2} M$$

($\frac{D}{Dt}$ – стоксова производная). Поэтому из (23)

$$M \frac{D^2 h(z, w)}{Dt^2} = \int_{-\infty}^{\infty} [h(z, w_1) - h(z, w)] \Psi_0(w_1) F(0) dw_1 + \\ + \frac{1}{2} \int_{-\infty}^{\infty} \int_0^{\infty} \Psi_0(w_1) F(\xi) \frac{d}{d\xi} [h(z + \xi, w_1) + h(z - \xi, w_1)] d\xi dw_1, \quad (24)$$

где $F(0) = \lim_{\xi \rightarrow +\infty} F(\xi) > 0$.

Так же, как и в п.1, малые возмущения представим в виде

$$h(z, w) = n(w) e^{i\lambda t + i k z} \quad (25)$$

Подставим (25) в (24):

$$M(\lambda + kw)^2 n(w) = F(0) \left[n(w) - \int_{-\infty}^{\infty} \Psi_0(w_1) n(w_1) dw_1 \right] + k \int_0^{\infty} F(\xi) \sin(k\xi) d\xi \int_{-\infty}^{\infty} \Psi_0(w_1) n(w_1) dw_1.$$

Теперь проверим, можно ли получить неустойчивые решения, для чего представим дисперсионное уравнение в виде

$$\int_{-\infty}^{\infty} \frac{\Psi_0(w) dw}{F(0) - M(\lambda + kw)^2} = \frac{1}{F(0) - k \int_0^{\infty} F(\xi) \sin(k\xi) d\xi}. \quad (26)$$

1. Воронцов-Вельяминов Б.А. Атлас и каталог взаимодействующих галактик. – М., 1959.
2. Jeans J.H. Astronomy and cosmogony.
3. Максумов М.Н., Марочник Л.С. // Доклады АН СССР. – 1965. – **164**. – С. 1019–1021.
4. Бейтмен Г., Эрдейи А. Таблицы интегральных преобразований. Т.1. – М., 1969.
5. Янке Е., Эмде Ф., Леш Ф. Специальные функции. – М., 1964.
6. Градштейн И.С., Рыжик И.М. Таблицы интегралов, сумм, рядов и произведений. – М., 1963.

Комментарий. При настоящем переиздании статья дана с сокращениями. Во-первых, сокращены некоторые промежуточные аналитические выкладки, не столь, видимо, интересные в нашу эпоху распространения численных расчетов, но отвлекающие внимание читателей от сути дела. Во-вторых, усечен конец статьи, поскольку при анализе уравнения (26) была допущена ошибка (некорректное обращение с расходящимся интегралом), приводившая и к искаженному физическому выводу об устойчивости поперечных возмущений при любом k .

В исправленном виде анализ уравнения (26) дадим опять-таки в пределе длинных волн и больших σ^2 . Тогда главным членом в обоих знаменателях (26) оказывается $F(0)$ и разложение по добавкам к нему с использованием уже известной нам асимптотики правой части (8) дает приближенную форму дисперсионного уравнения

$$\lambda^2 + k^2 \sigma^2 = -k^2 \sigma_1^2 \left(\ln \frac{kR_e}{2} + C \right)$$

и критическую длину

$$l \sim \pi R_e \exp \left(\frac{\sigma^2}{\sigma_1^2} + C \right),$$

почти совпадающую с (22). Существенная разница однако состоит в том, что продольные возмущения неустойчивы на длинах $> l$, а поперечные, наоборот, на меньших длинах (но больше R). Это в общем-то согласуется с выводами других авторов о так называемой шланговой неустойчивости.

Кроме того, возможно, с нормировкой фазовой плотности (2) связана некоторая техническая неловкость, так как величина M оказывается размерности $\text{г} \cdot \text{см}^{-1}$. Фактически, это, конечно, масса цилиндра на единицу длины:

$$M = 2\pi \int_0^R r \rho(r) dr.$$

Соответственно F имеет непривычную размерность $\text{г} \cdot \text{см}^{-1} \cdot \text{сек}^{-2}$.

Поступила в редакцию 16.12.2002